

## 1 放射線崩壊の法則

放射線崩壊の法則は ruthertford と soddy によって実験的に確立された。サンプルは時間によって指数的に崩壊する。  
量子力学によると原子核崩壊過程は黄金律(遷移確率/時間)に由来し、定数  $\lambda$  によって特徴づけられる。  
もし崩壊モードが一つ以上ならば、 $\lambda$  は各モードの総和

$$\lambda = \lambda_1 + \lambda_2 + \lambda_3 + \dots$$

N 個の崩壊核のサンプルでは

$$dN = -\lambda N dt \quad (1)$$

$$\Leftrightarrow N(t) = N(0) \exp(-\lambda t) = N(0) \exp(-t/\tau_m) (\tau_m = \frac{1}{\lambda}) \quad (2)$$

ここで N は十分に大きく、したがって時間において連続(微分可能)とする。

半減期  $T_{1/2}$  は

$$\frac{1}{2} = \exp(-\lambda T_{1/2}) \Leftrightarrow T_{1/2} = \frac{1}{\lambda} \log 2 = \tau_m \log 2$$

## 2 放射線のゆらぎ

放射減衰の法則では半減期に比べて短い時間  $\Delta t$  の間の放射能は一定のはずだが、繰り返し測定すると不確定性原理により揺らぎが観測される。揺らぎはポアソン分布をとる。 $\Delta t$  の間の崩壊数が  $n$  と観測される確率  $P(n, \Delta t)$  は

$$P(n, \Delta t) = \frac{m^n}{n!} \exp(-m)$$

$m$  は繰り返し観測した結果を平均した崩壊数。

標準偏差  $\sigma$  は

$$\sigma = \sqrt{m}$$

例 1 ある事象は 5 秒間で 900 回観測された。この時  $m = 900$ ,  $\Delta t = 5$

$$\sigma = \sqrt{900} = 30$$

1秒に観測される割合は

$$(900 \pm 30)/5 = (180 \pm 6) cts/s$$

例2ある弱い放射線源は平均 1cts/s とわかっている。

1)4秒で全く崩壊が観測されない確率は、 $\Delta t = 4$  m = 4 としてポアソン分布に代入すると

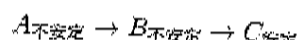
$$P = 4^0 \frac{\exp(-4)}{0!} = 0.0183$$

2)4秒で1だけ観測される確率は

$$P = 4^1 \frac{\exp(-4)}{1!} = 0.0733$$

### 3 放射性崩壊の連鎖

連鎖的に崩壊する場合



$$\begin{cases} \frac{dN_a}{dt} = -\lambda_a N_a \\ \frac{dN_b}{dt} = \lambda_a N_a - \lambda_b N_b \\ \frac{dN_c}{dt} = -\lambda_b N_b \end{cases} \quad (3)$$

$$\Leftrightarrow \begin{cases} N_a = N_a(0) \exp(-\lambda_a t) \\ N_b = N_a \frac{\lambda_a}{\lambda_b - \lambda_a} [\exp(-\lambda_a t) - \exp(-\lambda_b t)] \\ N_c = N_a [1 + \frac{1}{\lambda_b - \lambda_a} [\lambda_a \exp(-\lambda_b t) - \lambda_b \exp(-\lambda_a t)]] \end{cases} \quad (4)$$

fig.1.7より  $N_b$  は max となるような  $t$  があり

$$t_{max} = \frac{\log \frac{\lambda_b}{\lambda_a}}{\lambda_b - \lambda_a}$$

このとき

$$\lambda_b N_b(t_{max}) = \lambda_a N_a(t_{max})$$

散乱断面積は

$$\begin{cases} \sigma(^{63}Cu \rightarrow ^{64}Cu) = 4.4 barns = 4.4 \times 10^{-24} cm^2 \\ \sigma(^{64}Cu \rightarrow ^{66}Cu) = 2.2 barns = 2.2 \times 10^{-24} cm^2 \end{cases}$$

半減期はそれぞれ 12.7 時間と 5.1 分。

$F = 10^9 cm^2 s^{-1}$  の中性子を当てると

$$\lambda_a = F\sigma = \begin{cases} 10^9 \times (4.4 \times 10^{-24}) = 4.4 \times 10^{-15} s^{-1} (^{64}Cu) \\ 10^9 \times (2.2 \times 10^{-24}) = 2.2 \times 10^{-15} s^{-1} (^{66}Cu) \end{cases}$$

の割合で  $^{64}Cu$  と  $^{66}Cu$  が生成され

$$\lambda_b = \frac{1}{\tau_m} = \begin{cases} \frac{\log(2)}{12.7} = 0.054 h^{-1} (^{64}Cu) \\ \frac{\log(2)}{5.1} = 0.136 min^{-1} (^{66}Cu) \end{cases}$$

の割合で崩壊する。

t 秒後のそれぞれのアイソトープの放射能は、 $\lambda_a \ll \lambda_b, \lambda_a t \ll 1$  として

$$\lambda_B N_b \sim N_a(0) \lambda_a [1 - \exp(-\lambda_b t)]$$

$$N_a(0) = (6.02 \times 10^{23}/A) \times (\text{存在量}) \times (1g)$$

よって 15 分照射した場合

$$\lambda_B N_b(15min) = \begin{cases} 3.86 \times 10^5 Bq = 10.43 \mu Ci (^{64}Cu) \\ 5.62 \times 10^6 Bq = 152 \mu Ci (^{66}Cu) \end{cases}$$

$$t_{max} = \begin{cases} 16.8 days (^{64}Cu) \\ 3.4 h (^{66}Cu) \end{cases}$$

式(4)より

$$\frac{\lambda_b N_b}{\lambda_a N_a} = \frac{\lambda_b}{\lambda_b - \lambda_a} [1 - \exp(-(\lambda_b - \lambda_a)t)]$$

1)  $\lambda_a \geq \lambda_b$

tとともに増大

2)  $\lambda_b \geq \lambda_a$

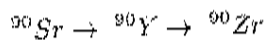
tが大きくなると一定値 ( $\frac{\lambda_b}{\lambda_b - \lambda_a}$ ) となる。これを過渡平衡という。

3)  $\lambda_b \gg \lambda_a$

速やかにおよそ 1 に収束。これを ~~スカラ~~ scalar 平衡といふ。

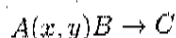
scalar

例



式(4)に代入すると右辺第二項は無視できる。すると実質 Y(90) の半減期は 28 年と見なせる。

#### 4 放射線による放射性同位体の生成



上の反応は、A 核に x が入射するが B 核が生成され、不安定になった B は y を出しながら  $\lambda_b$  によって C に崩壊するという意味である。  
x のフラックスを F、x と A の散乱断面積を  $\sigma$  とすると

$$\frac{dN_a}{dt} = -F\sigma N_a = -\lambda_a N_a \quad (5)$$

$$\frac{dN_b}{dt} = -\lambda_b N_b + \lambda_a N_a \quad (6)$$

これは以前の議論と酷似。

例

$$\text{Cu} \left\{ \begin{array}{l} ^{63}\text{Cu}(69\text{ パーセント}) \\ ^{65}\text{Cu}(31\text{ パーセント}) \end{array} \right.$$

熱中性子を当てると

$$\left\{ \begin{array}{l} ^{63}\text{Cu} \rightarrow ^{64}\text{Cu} \\ ^{65}\text{Cu} \rightarrow ^{66}\text{Cu} \end{array} \right.$$